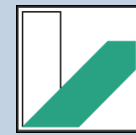
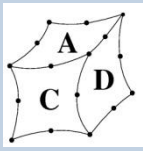


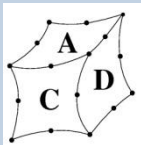
# Speicherallokation und Solveralgorithmen im Rahmen der Finite-Elemente-Analyse (FEA)

- mit Praxisvorführung  
(Z88V13-Forschungsversion) -

**Dipl.-Ing. Bernd Roith**  
**Dipl.-Ing. Martin Zimmermann**  
**Prof. Dr.-Ing. Frank Rieg**



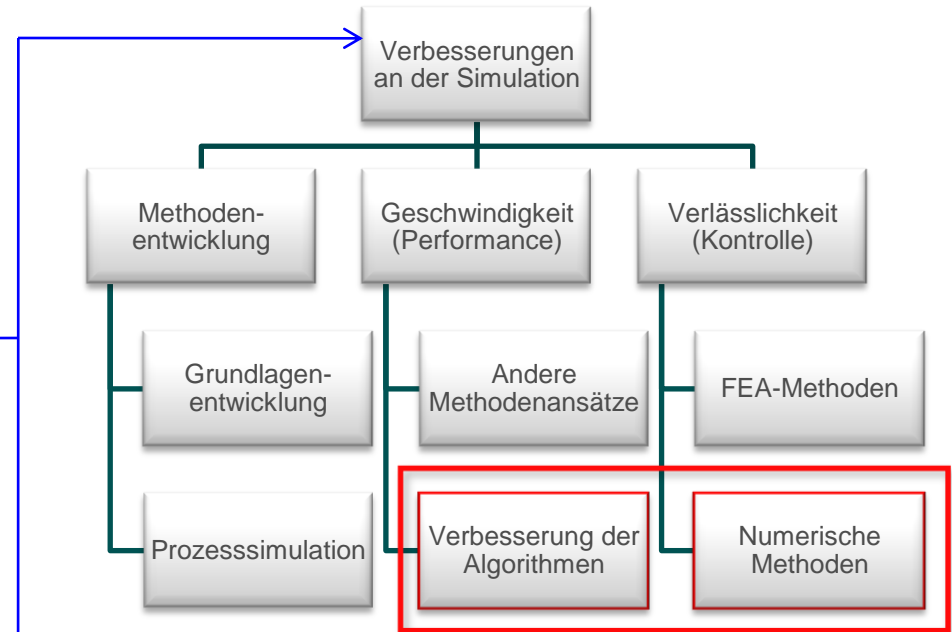
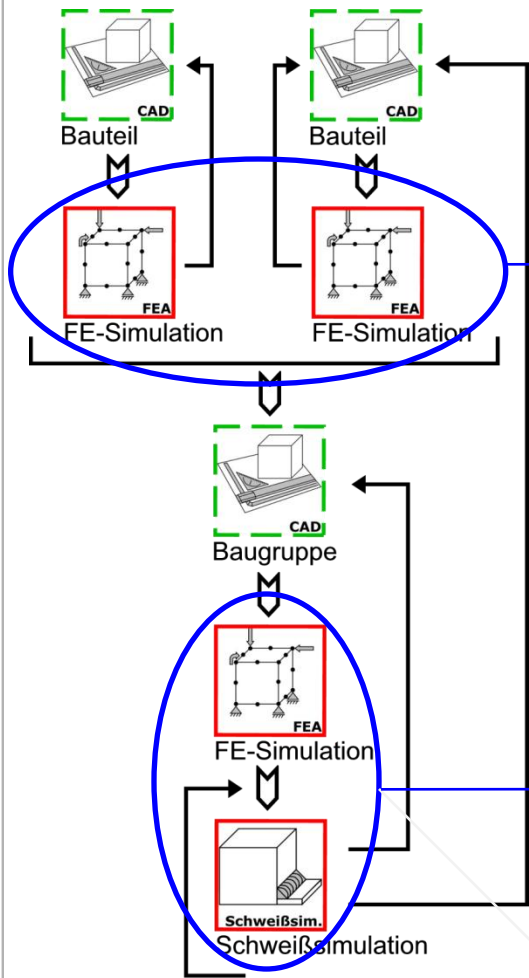
1. **Grundlagen der Finiten Elemente Analyse**
  - 1.1 Aufgabenstellung
  - 1.2 Finite Elemente Theorie
  - 1.3 Was heißt das für die Softwarelösung ?
2. **Finite Elemente Programm Z88**
  - 2.1 Aufbau und Module
  - 2.2 Funktionsumfang
  - 2.3 Praxisbeispiel
3. **Sparsebuilder**
  - 3.1 Theorie und Implementierung in Z88
  - 3.2 Praxistests
  - 3.3 Praxisbeispiel
4. **Finite Elemente Solver**
  - 4.1 Theorie und Implementierung in Z88
  - 4.2 Praxistests
  - 4.3 Praxisbeispiel
  - 4.4 Einfluss der Diskretisierung bei Finite Element Modellen
5. **Zusammenfassung**



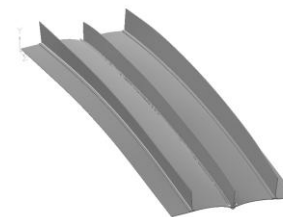
# Aufgabenstellung



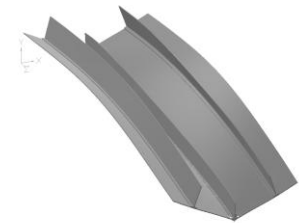
## Moderner Entwicklungsprozess



## Numerische Methoden



Residuum 1E-9

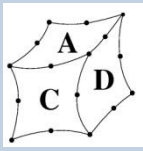


Residuum 1E-10

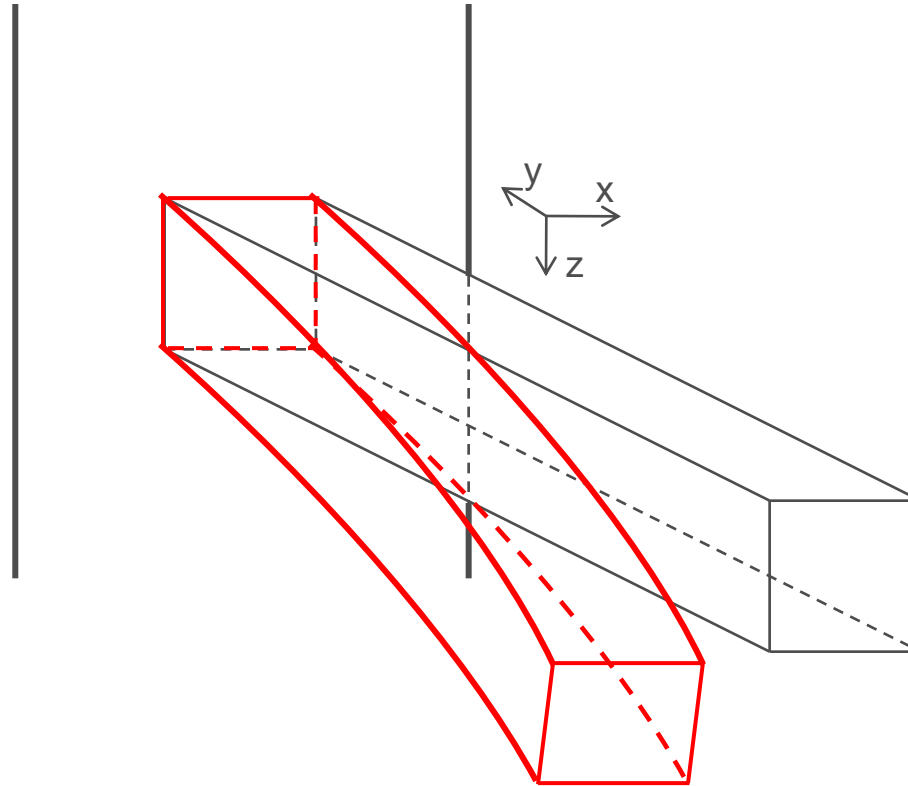
Aus BMBF-Projekt INSOFIT

Modellierungs- und Synthesewerkzeuge

Analysewerkzeuge



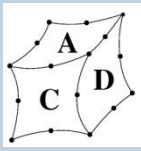
## Finite Elemente Theorie



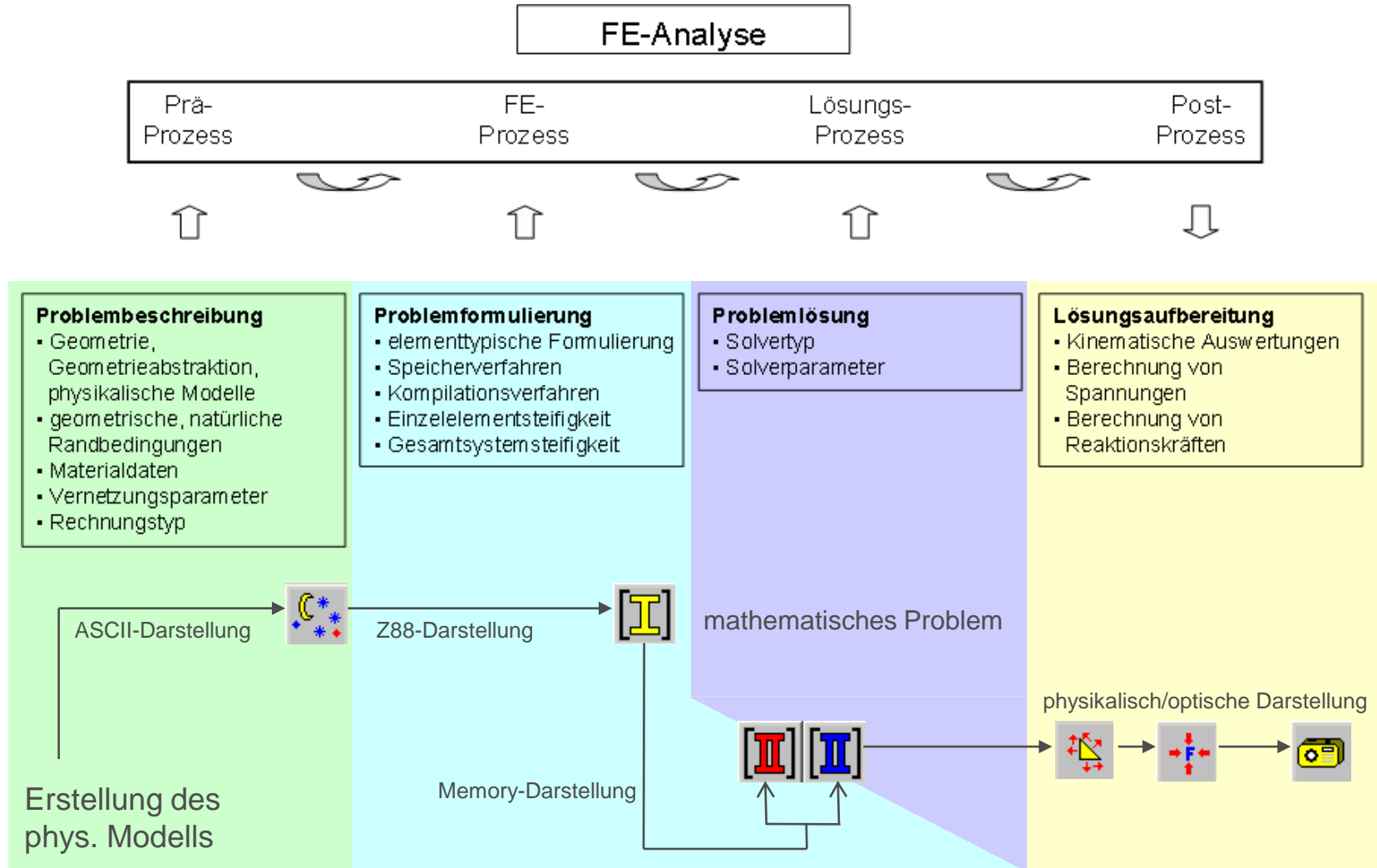
deformiertes Model

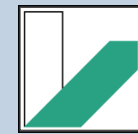
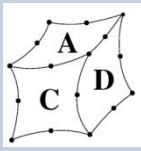
1. physikalisches Problem
2. Diskretisierung der Geometrie
3. Einzelementbeschreibung
4. Gesamtsteifigkeitsmatrix
5. Randbedingungen
6. mathematischer Gleichungslöser
7. **Ergebnisse**

Undeformiertes  
Ausgangsmodell

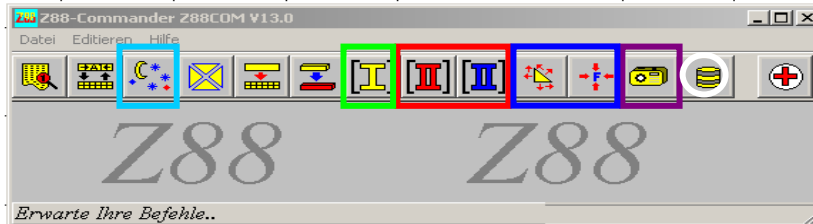


## Prozessablauf der Softwarelösung





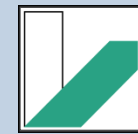
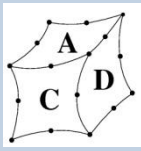
## Aufbau und Module



## Verfügbarkeit (32-64-Bit)

	Win32	Win64	LINUX 32	LINUX 64	SGI64, SUN64
Pointer	4	8	4	8	8
FR_XINT	4	4	4	4	8
FR_XLONG	4	4	4	8	8
FR_XLOLO	4	8	8	8	8
FR_XDOUB	8	8	8	8	8
FR_XQUAD	8	8 / 16	12 / 16	12 / 16	16

- → Schnittstellenkonverter:
  - Cosmos
  - Nastran (bdf)
  - Abaqus (inp)
- → Sparsebuilder (für „Nicht-Null-Speicherung“ der Matrix K)
- → Finite Element Analyse Solver (rot: Iterativ, blau: direkt)
- → Spannungs- und Knotenkraftprozessor
- → Grafische Darstellung/Auswertung (opengl)
- → Steuerdatei (Speicherverwaltung für die einzelnen Module)



## Funktionsumfang



**Schnittstellenkonverter:** MSC.Patran, MSC.Mentat, UGS NX 4.0, PTC Pro/ENGINEER Wildfire, Simufact, Abaqus CAE 6.3



**Mapped Mesher** mit Hilfe von Superelementen



**Sparse-Solver** sowohl **Direkt** als auch **Iterative** (CG mit SOR-Präkonditionierung und CG mit unvollständiger Choleskyzerlegung)

- Elementtypen: Stäbe, Balken, Kontinuumselemente (Tetraeder, Hexaeder (linear & quadratisch)), Platten, Schalen
- Randbedingungen: Kräfte, Verschiebungen, homogene Randbedingungen, Drücke, plastische und elastische Initialdehnungen



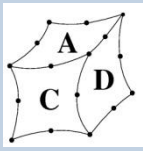
**Spannungsprozesscr** (Gestaltänderungsenergiehypothese, Schubspannungshypothese, Normalspannungshypothese)



**Knotenkraftprozessor**



**OpenGL Darstellungsmodul:** verformt, unverformt, FE-Netz, Verschiebungen, Spannungen (Gauß-Punkten), Randbedingungen



## Praxisbeispiel

**NASTRAN-Format**

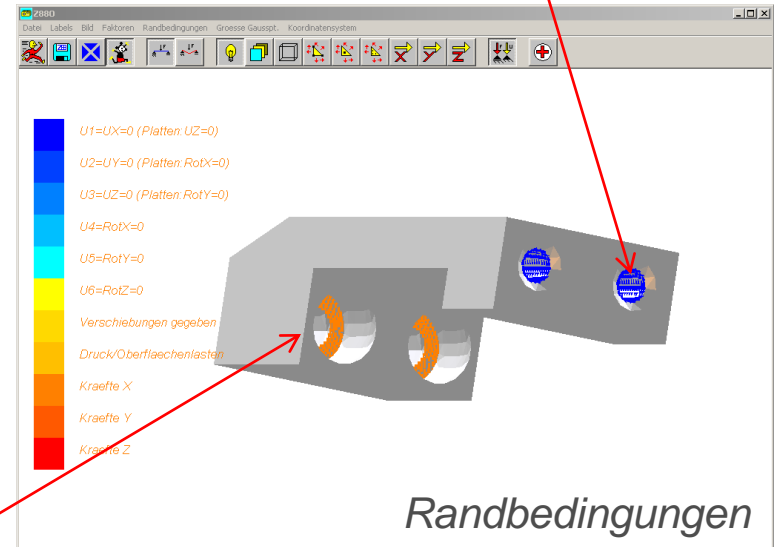
aus Pro/ENGINEER Wildfire 3.0

Lagerung (Fixierung)

Einführung und Gesamtpräsentation

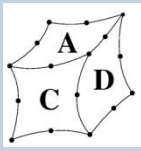


Z88V13



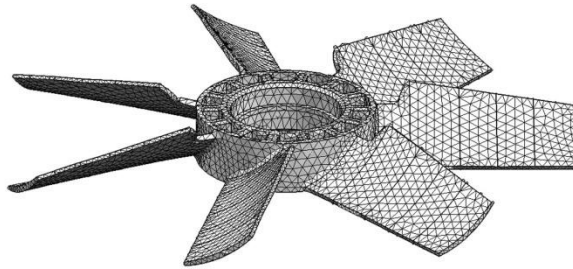
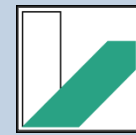
Kraft in Z-Richtung





# Sparsebuilder 1

-Theorie 1-



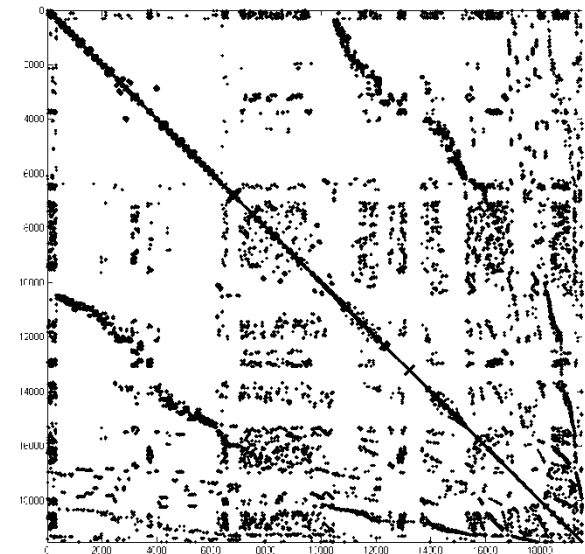
$$\underline{\underline{K}} \cdot \underline{u} = \underline{F}$$

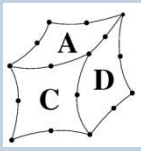
$$\sum_E \left( \iiint_{V^E} \underline{\underline{B}}^T \underline{\underline{C}} \underline{\underline{B}} dV \right) \cdot \underline{u} = \underline{F}$$

- symmetrisch
- dünn besetzt

- Problem:
  - Feststellung der Stellen der dünnen Besetzung,
  - Abspeicherungsverfahren der besetzten Stellen

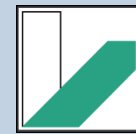
Symbolisches Abbild einer Steifigkeitsmatrix  
(Nicht-Null-Elemente gekennzeichnet)



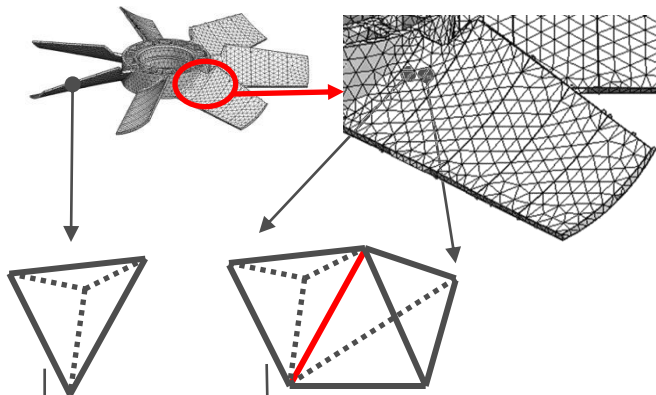


# Sparsebuilder 1

-Theorie 2-



- 1. Variante: symbolische Kompilation (elementweises Vorgehen)
- 2. Variante: NCP-Verfahren (Node-Cross-Prinzip)

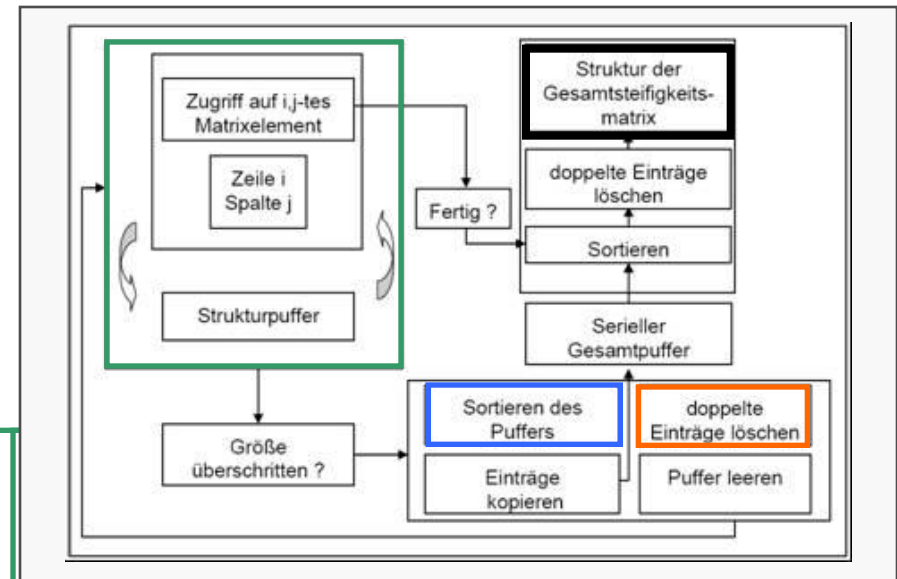


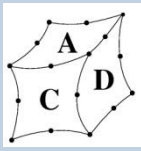
((4,4) (4,5) (4,6) (1234,128) ...)

(...(125,126) (125,125) (123,258) (123,258) (125,125) ...)

((4,4) (4,5) (4,6) ... (123,258) (123,258) (125,125) (125,125) (125,126) ... (1234,128) ...)

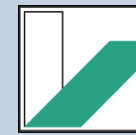
((4,4) (4,5) (4,6) ... (123,258) (125,125) (125,126) (1234,128) ...)





# Sparsebuilder 1

-Theorie 3-



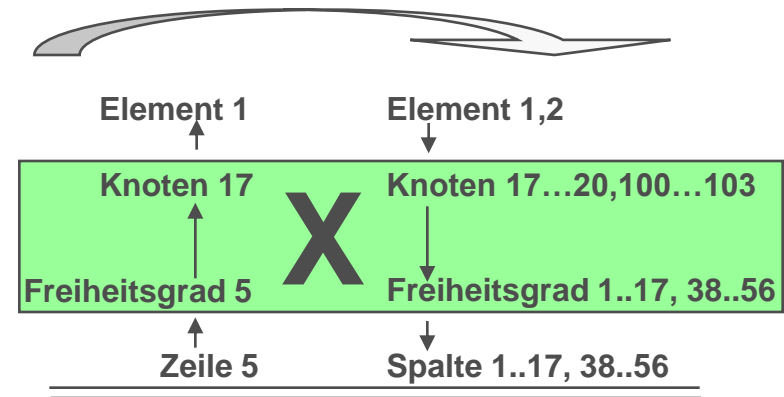
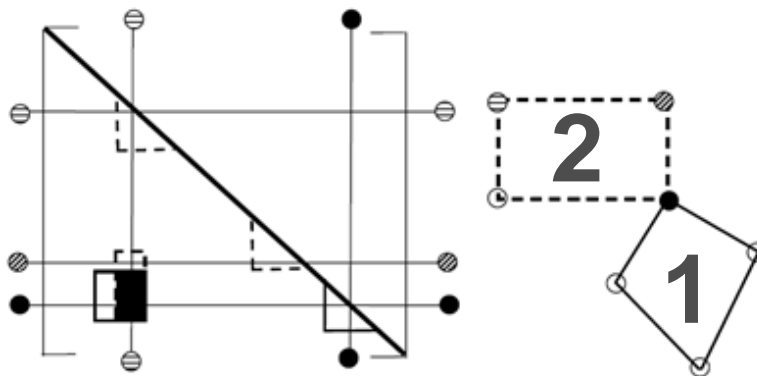
UNIVERSITÄT  
BAYREUTH

- 1. Variante: symbolische Kompilation (**elementweises Vorgehen**)
- 2. Variante: **NCP-Verfahren (Node-Cross-Prinzip) (zeilenweises Vorgehen)**

- Nachteil der symbolischen Kompilation ist das Ausführen der **Sortieroperationen über große Felder** und das Ausführen des **gesamten Kompilationsalgorithmus**
- **Speicher- und zeitintensiv**

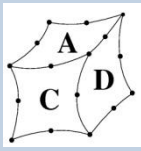
## NCP:

- zeilenweise (Freiheitsgradweise) Erzeugung der Besetzungspositionen der Matrix
- > 1-dimensionaler Charakter des Algorithmus
- Sortieroperationen auf kleine Felder



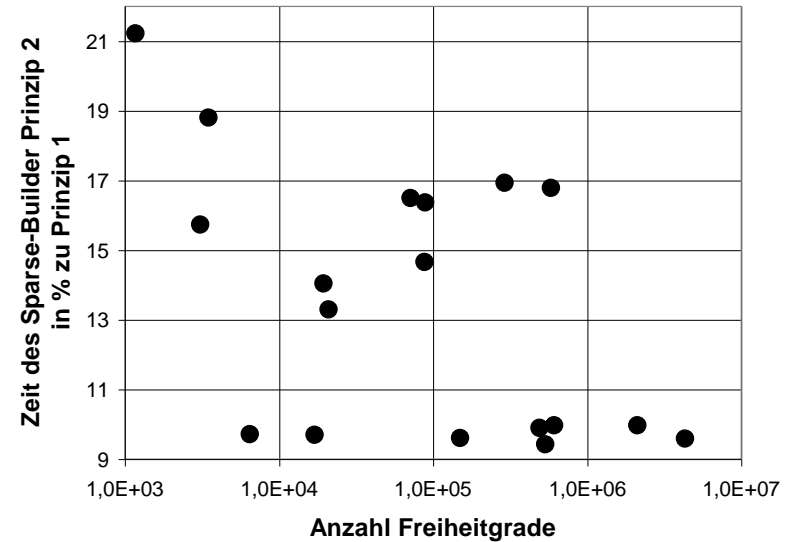
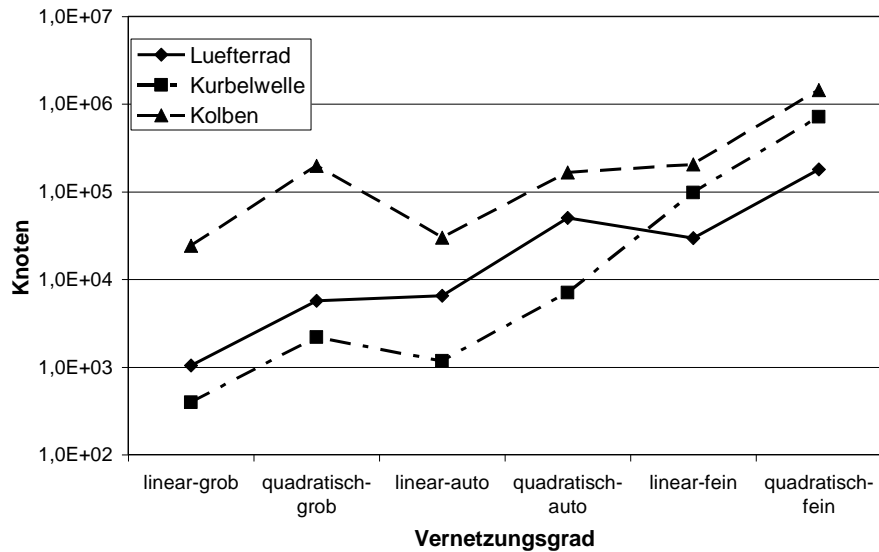
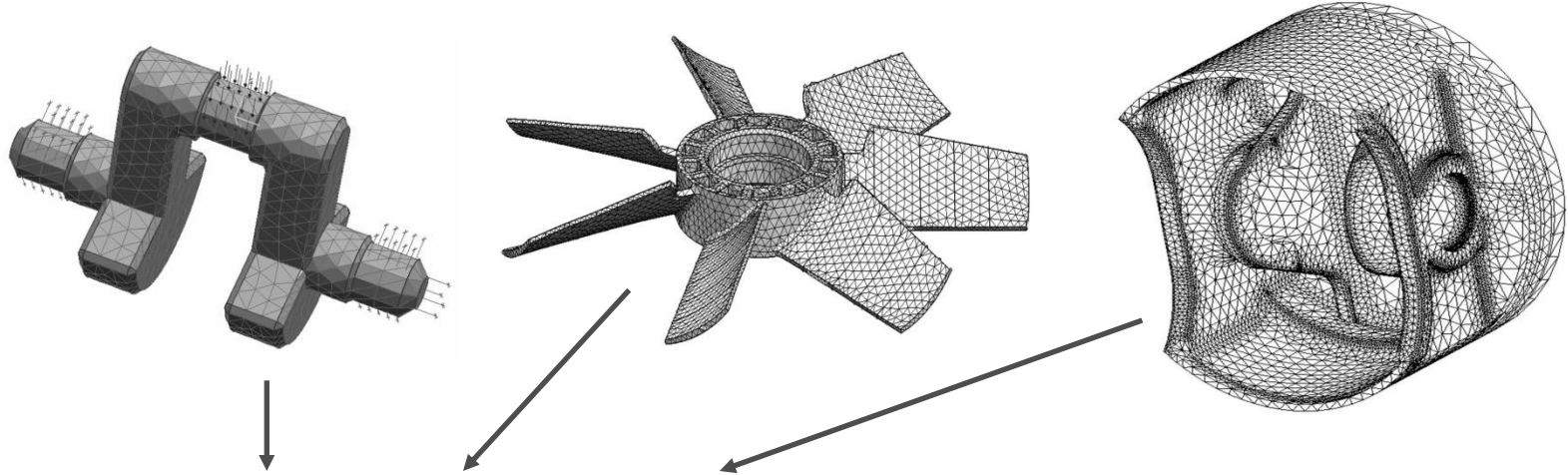
Quelle: Dissertation Martin Zimmermann, Universität Bayreuth, 2008

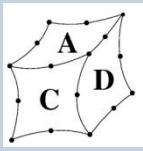
Dipl.-Ing. Bernd Roith, Dipl.-Ing. Martin Zimmermann



# Sparsebuilder 2

-Praxistests-





## Praxisbeispiel

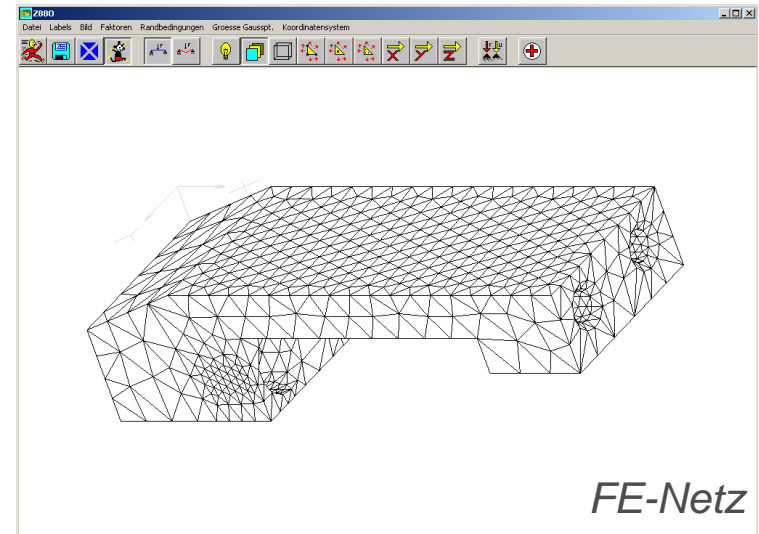
Vergleich Sparsebuilder Z88V12 zu Z88V13



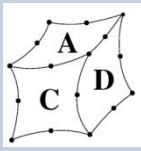
Z88V12



Z88V13

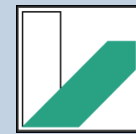


*FE-Netz*



# Finite Elemente Solver 1

- Theorie und Implementierung in Z88 -



UNIVERSITÄT  
BAYREUTH

$$\underline{\underline{K}} \cdot \underline{u} = \underline{F}$$

Direkte Lösung  
z.B. Solver PARDISO

Iterative Lösung  
z.B. SOLVER CG

$$\underline{\underline{P}} \underline{\underline{K}} \underline{\underline{P}}^T$$

SORCG

$$\underline{\underline{K}} = \underline{\underline{D}} - \underline{\underline{E}} - \underline{\underline{F}}$$
$$\underline{u}_{k+1} = (\underline{\underline{D}} - \omega \cdot \underline{\underline{E}})^{-1} \cdot [\omega \cdot \underline{F} + (1 - \omega) \cdot \underline{\underline{D}}] \cdot \underline{u}_k + \omega \cdot \underline{F}$$

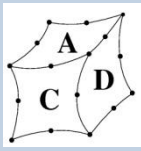
Permutationsmatrix:  
- speicher- und algorithmen-  
optimiertes Zeilen-/ Spaltentauschen

Relaxationsfaktor zur  
Konvergenzbeschleunigung

$$\underline{\underline{P}} \underline{\underline{K}} \underline{\underline{P}}^T = \underline{\underline{Q}} \underline{\underline{L}} \underline{\underline{U}} \underline{\underline{R}}$$

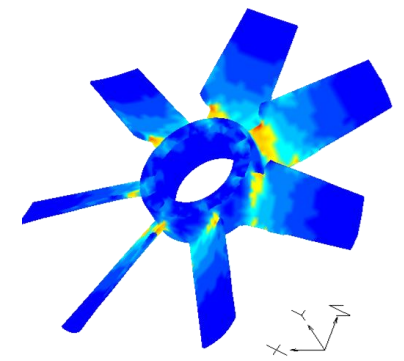
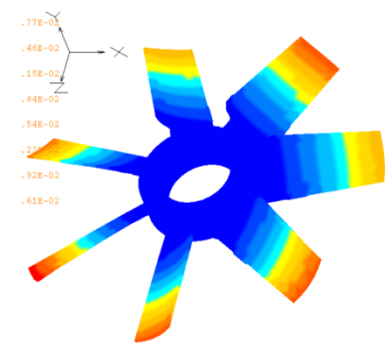
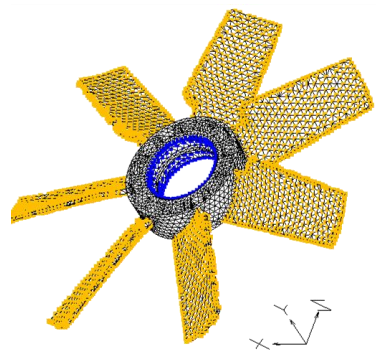
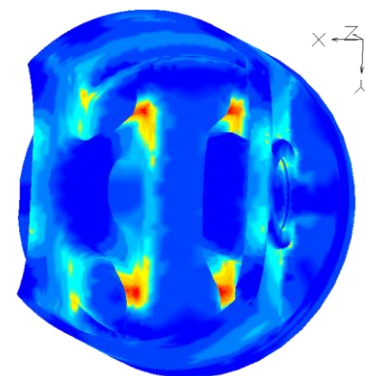
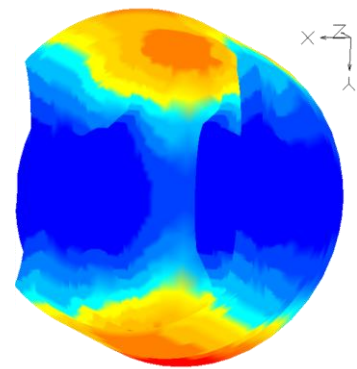
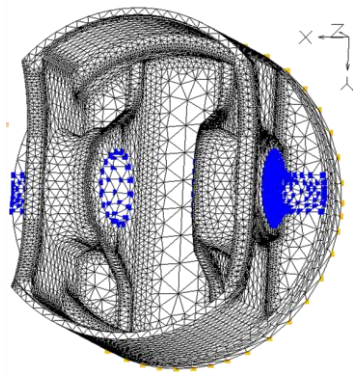
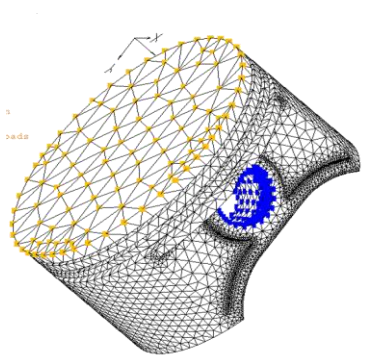
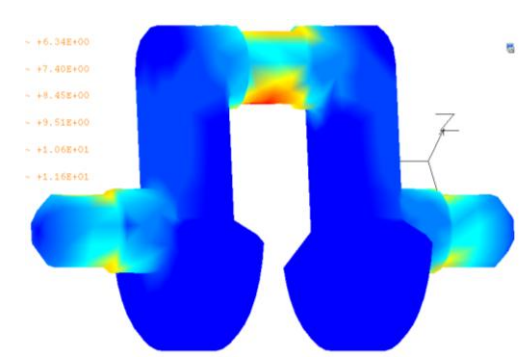
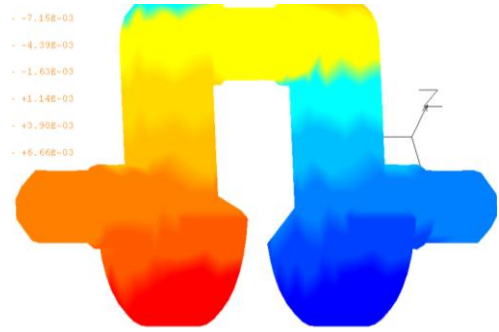
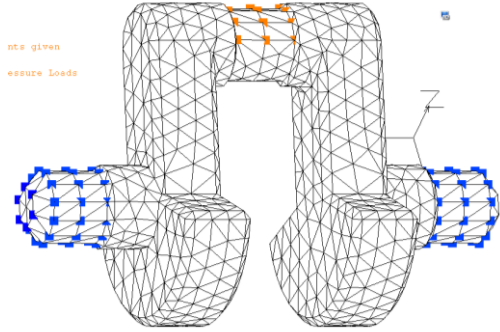
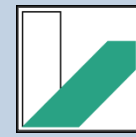


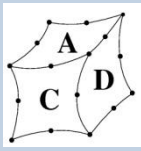
linke und rechte Dreiecksmatrix  
pivotisierende Matrizen



# Finite Elemente Solver 2

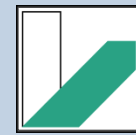
- Praxistest Beispiele -





# Finite Elemente Solver 3

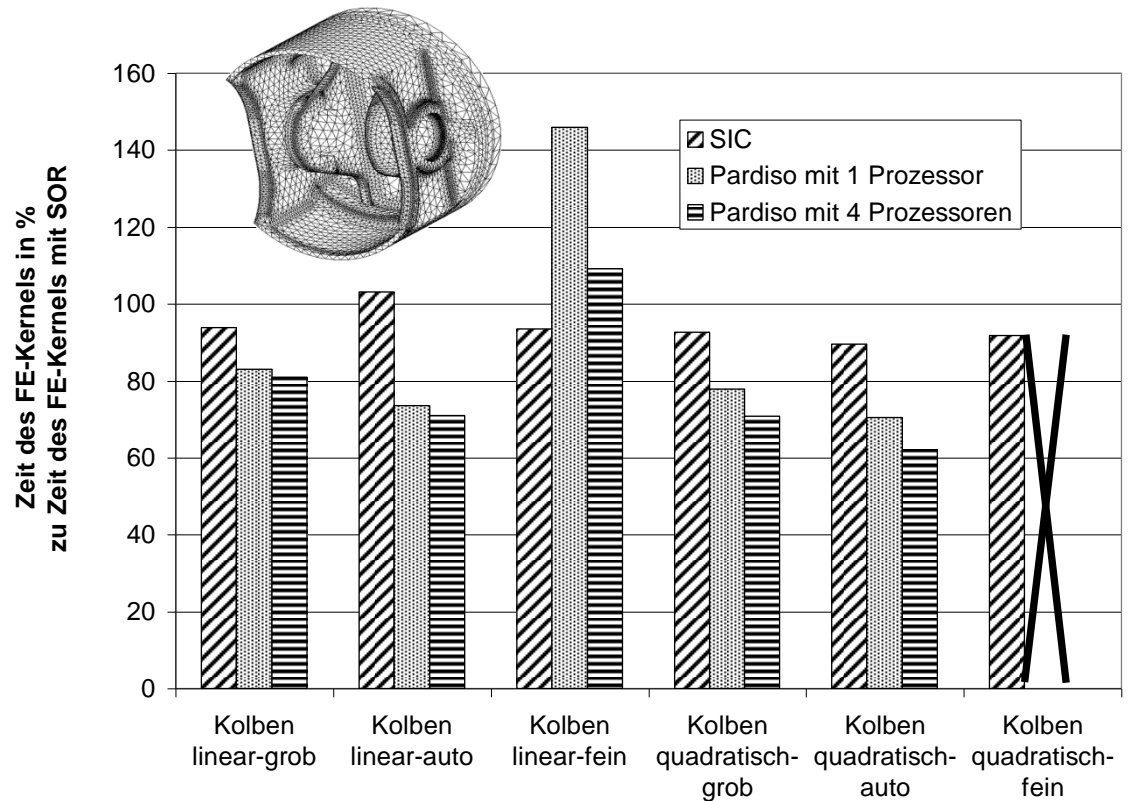
- Praxistest Auswertung -



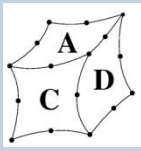
UNIVERSITÄT  
BAYREUTH

- iterative Solver: SOR-, SIC-Verfahren und direkte Solver (Single- und Multiprozessor im Vergleich)

- Mit Parallelisierung lässt sich auf dem FE-Sektor ein Rechengang beschleunigen  
 - das Verhältnis des Zeitbedarfs von Iterationssolvern und direkten Solvern ist Problemabhängig

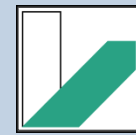




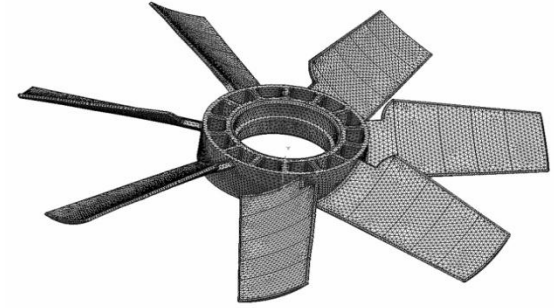
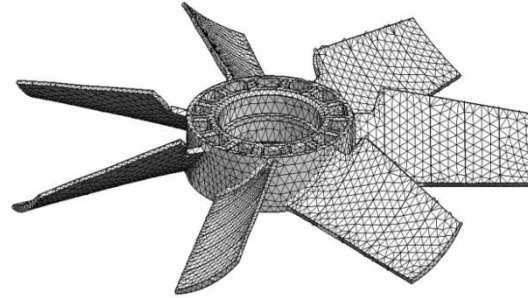
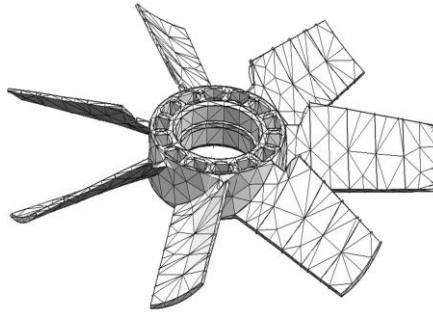


# Finite Elemente Solver 3

- Einfluss der Diskretisierung bei FE-Modellen -

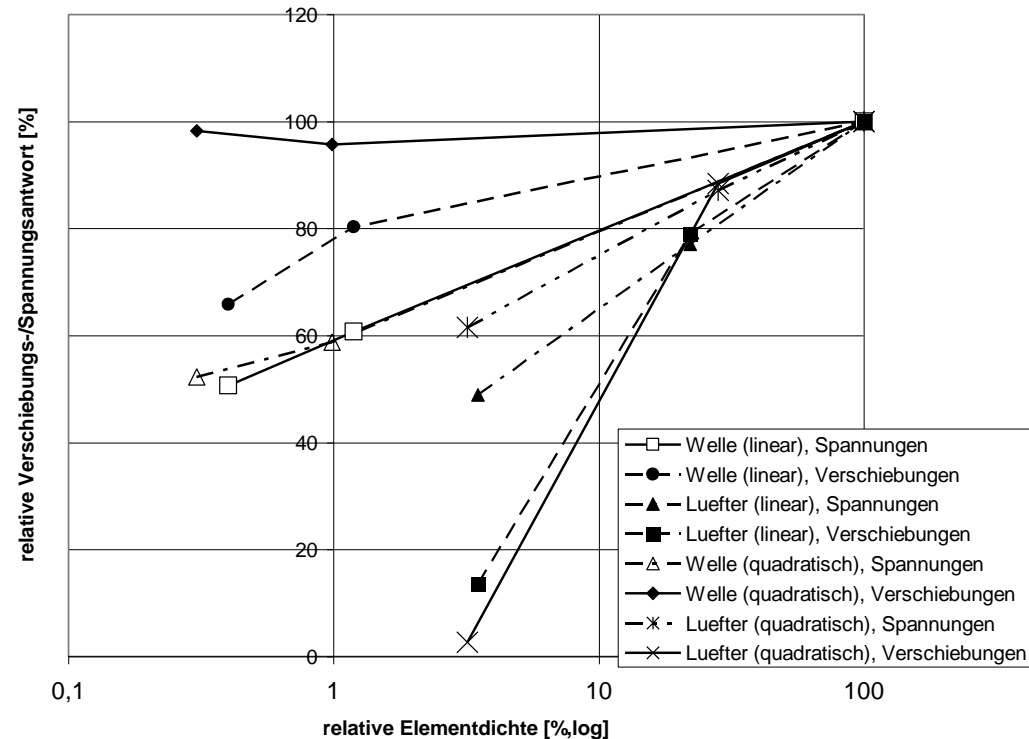


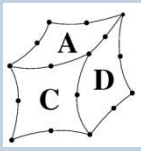
UNIVERSITÄT  
BAYREUTH



- Diskretisierung beeinflusst maßgeblich den Raum der zur Verfügung stehenden Lösungen
- **zentrales Problem** in der Praxis:

1. **Meist** wird **nur** mit **einer Diskretisierung** gerechnet.
2. Man weiß erst mit **mehreren Lösungen** unterschiedlicher Diskretisierungen, wie **vertrauenswürdig** ein Ergebnis ist.



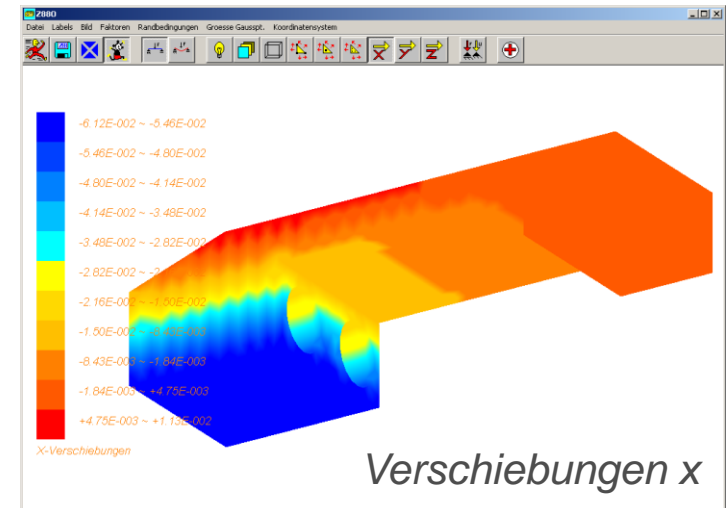
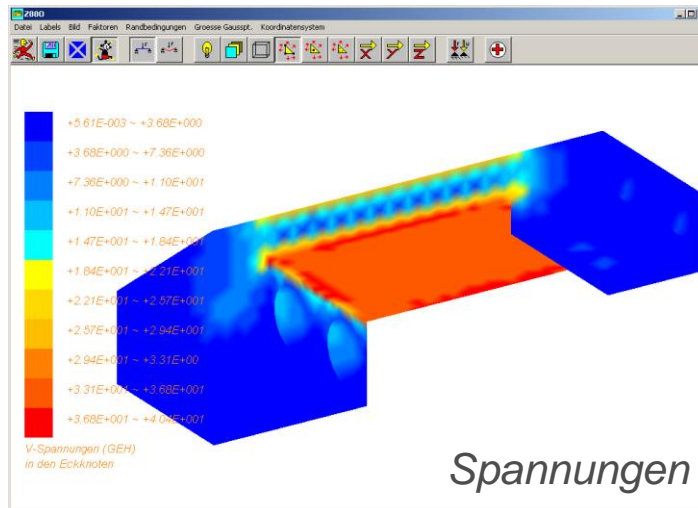


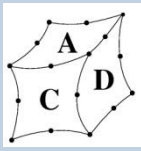
## Praxisbeispiel

Finite Elemente Solver Z88V13 - Direkt (Pardiso)



Z88V13





- Eine effiziente **Speicherverwaltung** spielt für die **Berechnung** großer Strukturen eine **entscheidende** Rolle. Durch die Untersuchung und **Verbesserung der** damit verbundenen **Algorithmen** kann Zeit und Rechenpeicher gespart werden. **Simulationen** als Teil des Produktentwicklungsprozesses werden damit **effizienter durchführbar**.
- Für **große Strukturen** ist die **Sparse-Speichertechnik** zur Realisierung entscheidend.
- **Sparse-Solver** ermöglichen die Berechnung der **großen Gleichungssysteme**. Es ist vorab nicht abzuschätzen mit welcher Solvervariante man **schneller und effektiver zum Ziel** kommt.
- Sowohl **iterative**, als auch **direkte Sparse-Solver** besitzen daher eine **Daseinsberechtigung**.